



Teoria e Tecnica delle Onde Elettromagnetiche - Propagazione radiata e propagazione guidata  
Prof. G. Pelosi, Laboratorio di Elettromagnetismo Numerico  
Dipartimento di Elettronica e Telecomunicazioni - Università di Firenze

Lezione XIII  
Guide d'onda circolari

**LEZIONE XIII**

**GUIDE D'ONDA CIRCOLARI**

Corso di  
"Teoria e tecnica delle onde elettromagnetiche"

Prof. Giuseppe Pelosi  
Dipartimento di Elettronica e Telecomunicazioni  
Università di Firenze  
E-mail: [giuseppe.pelosi@unifi.it](mailto:giuseppe.pelosi@unifi.it)  
URL: <http://www.cem.unifi.it/>

1/21



Teoria e Tecnica delle Onde Elettromagnetiche - Propagazione radiata e propagazione guidata  
Prof. G. Pelosi, Laboratorio di Elettromagnetismo Numerico  
Dipartimento di Elettronica e Telecomunicazioni - Università di Firenze

Lezione XIII  
Guide d'onda circolari

**SOLUZIONE DELLE EQUAZIONI DI MAXWELL IN UNA STRUTTURA  
CILINDRICA METALLICA CAVA RIEMPITA DI DIELETTRICO**

Obiettivo: trovare le possibili configurazioni del campo elettromagnetico all'interno di una guida d'onda circolare con pareti *PEC* riempita di dielettrico isotropo



Si lavora in coordinate cilindriche!

2/21



**SOLUZIONE DELLE EQUAZIONI DI MAXWELL IN UNA STRUTTURA  
CILINDRICA METALLICA CAVA RIEMPIA DI DIELETTICO**

**Lezione XIII**  
**Guide d'onda circolari**

Struttura cilindrica (nella direzione dell'asse  $z$ ) con  
pareti *pec* riempita di dielettrico isotropo

Ipotesi di lavoro per il campo elettromagnetico nel  
dielettrico all'interno della struttura

$$\mathbf{E}(x, y, z) = \mathbf{E}(x, y)e^{-jk_z z}$$

$$\mathbf{H}(x, y, z) = \mathbf{H}(x, y)e^{-jk_z z}$$

Equazioni delle onde o di Helmholtz nelle strutture cilindriche (equazioni agli autovalori)

$$\frac{\partial^2 E_z}{\partial x^2} + \frac{\partial^2 E_z}{\partial y^2} + (k^2 - k_z^2)E_z = 0$$

$$\frac{\partial^2 H_z}{\partial x^2} + \frac{\partial^2 H_z}{\partial y^2} + (k^2 - k_z^2)H_z = 0$$

Coordinate cartesiane

Costante di propagazione  
caratteristica del dielettrico e numero  
d'onda di cut-off

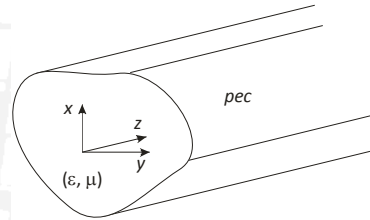
$$\Rightarrow \frac{\partial^2 E_z}{\partial \rho^2} + \frac{1}{\rho} \frac{\partial E_z}{\partial \rho} + \frac{1}{\rho^2} \frac{\partial^2 E_z}{\partial \phi^2} + (k^2 - k_z^2)E_z = 0$$

$$\frac{\partial^2 H_z}{\partial \rho^2} + \frac{1}{\rho} \frac{\partial H_z}{\partial \rho} + \frac{1}{\rho^2} \frac{\partial^2 H_z}{\partial \phi^2} + (k^2 - k_z^2)H_z = 0$$

Coordinate cilindriche

$$k^2 = \omega^2 \epsilon \mu$$

$$k_c^2 = k^2 - k_z^2 = k_x^2 + k_y^2 = k_z^2 - k_z^2$$

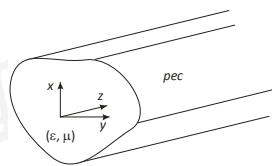


3/21



**SOLUZIONE DELLE EQUAZIONI DI MAXWELL IN UNA STRUTTURA  
CILINDRICA METALLICA CAVA RIEMPIA DI DIELETTICO**

**Lezione XIII**  
**Guide d'onda circolari**



Le componenti trasverse del campo e.m. possono essere espresse mediante le componenti longitudinali

$$E_x = -j \frac{k_z}{k_c^2} \frac{\partial E_z}{\partial x} - j \frac{\omega \mu}{k_c^2} \frac{\partial H_z}{\partial y}$$

$$E_y = -j \frac{k_z}{k_c^2} \frac{\partial E_z}{\partial y} + j \frac{\omega \mu}{k_c^2} \frac{\partial H_z}{\partial x}$$

$$H_x = -j \frac{k_z}{k_c^2} \frac{\partial H_z}{\partial x} + j \frac{\omega \epsilon}{k_c^2} \frac{\partial E_z}{\partial y}$$

$$H_y = -j \frac{k_z}{k_c^2} \frac{\partial H_z}{\partial y} - j \frac{\omega \epsilon}{k_c^2} \frac{\partial E_z}{\partial x}$$

Coordinate cartesiane

$$E_\rho = -\frac{1}{k_c^2} \left( jk_z \frac{\partial E_z}{\partial \rho} + \frac{j\omega \mu}{\rho} \frac{\partial H_z}{\partial \phi} \right)$$


$$E_\phi = \frac{1}{k_c^2} \left( -\frac{jk_z}{\rho} \frac{\partial E_z}{\partial \phi} + j\omega \mu \frac{\partial H_z}{\partial \rho} \right)$$

$$H_\rho = \frac{1}{k_c^2} \left( \frac{j\omega \epsilon}{\rho} \frac{\partial E_z}{\partial \phi} - jk_z \frac{\partial H_z}{\partial \rho} \right)$$

$$H_\phi = -\frac{1}{k_c^2} \left( j\omega \epsilon \frac{\partial E_z}{\partial \rho} + \frac{jk_z}{\rho} \frac{\partial H_z}{\partial \phi} \right)$$

Coordinate cilindriche

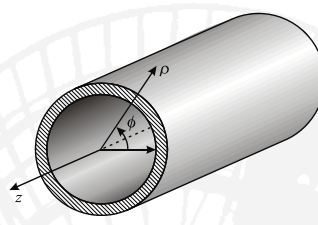
4/21



Teoria e Tecnica delle Onde Elettromagnetiche - Propagazione radiata e propagazione guidata  
Prof. G. Pelosi, Laboratorio di Elettromagnetismo Numerico  
Dipartimento di Elettronica e Telecomunicazioni - Università di Firenze

**MODI IN GUIDA CIRCOLARE**

Lezione XIII  
Guide d'onda circolari



$$\frac{\partial^2 E_z}{\partial \rho^2} + \frac{1}{\rho} \frac{\partial E_z}{\partial \rho} + \frac{1}{\rho^2} \frac{\partial^2 E_z}{\partial \varphi^2} + (k^2 - k_z^2) E_z = 0$$


$$\frac{\partial^2 H_z}{\partial \rho^2} + \frac{1}{\rho} \frac{\partial H_z}{\partial \rho} + \frac{1}{\rho^2} \frac{\partial^2 H_z}{\partial \varphi^2} + (k^2 - k_z^2) H_z = 0$$

$$\Rightarrow \frac{\partial^2 \psi}{\partial \rho^2} + \frac{1}{\rho} \frac{\partial \psi}{\partial \rho} + \frac{1}{\rho^2} \frac{\partial^2 \psi}{\partial \varphi^2} + (k^2 - k_z^2) \psi = 0$$

Ipotesi di lavoro: separazione delle variabili

$$\psi(\rho, \varphi, z) = R(\rho)F(\varphi)e^{-jk_z z}$$

5/21



Teoria e Tecnica delle Onde Elettromagnetiche - Propagazione radiata e propagazione guidata  
Prof. G. Pelosi, Laboratorio di Elettromagnetismo Numerico  
Dipartimento di Elettronica e Telecomunicazioni - Università di Firenze

**MODI IN GUIDA CIRCOLARE**

Lezione XIII  
Guide d'onda circolari

$$\psi(\rho, \varphi, z) = R(\rho)F(\varphi)e^{-jk_z z} \quad \psi = \begin{cases} E_z \\ H_z \end{cases}$$

Soluzione:  $\psi(\rho, \varphi, z) = J_m(\rho k_c) \{A_m \cos(m\varphi) + B_m \sin(m\varphi)\} e^{-jk_z z}$

$J_m(\rho k_c) \rightarrow$  Funzione di Bessel di prima specie di ordine  $m$

L'imposizione delle condizioni al contorno per  $\rho=a$  consente di determinare  $k_c$ , autovalore di ciascun modo


modi TM:  $E_z|_{\rho=a} = 0 \Rightarrow J_m(k_{cE}a) = 0$

modi TE:  $\frac{\partial H_z}{\partial \rho}|_{\rho=a} = 0 \Rightarrow J'_m(k_{cH}a) = 0$

autovalori modi TM:  $k_{cE, mn} = \frac{p_{mn}}{a} \quad (m=0, 1, \dots; n=1, 2, \dots) \quad p_{mn}: \text{zero } n\text{-esimo di } J_m(x)$

autovalori modi TE:  $k_{cH, mn} = \frac{p'_{mn}}{a} \quad (m=0, 1, \dots; n=1, 2, \dots) \quad p'_{mn}: \text{zero } n\text{-esimo di } J'_m(x)$

6/21



Teoria e Tecnica delle Onde Elettromagnetiche - Propagazione radiata e propagazione guidata  
Prof. G. Pelosi, Laboratorio di Elettromagnetismo Numerico  
Dipartimento di Elettronica e Telecomunicazioni - Università di Firenze

**Lezione XIII**  
**Guide d'onda circolari**

---

**Modi TM**

$TM_{mn}$

$$E_z = A J_m(k_{cE,mn} \rho) e^{-k_{cz} z} \begin{cases} \cos(m\varphi) \\ \sin(m\varphi) \end{cases}$$

$$E_\rho = H_\varphi Z_E$$

$$E_\varphi = -H_\rho Z_E$$

$$H_\rho = jA \frac{f}{f_{cE}} \frac{m}{k_{cE} \rho} J'_m(k_{cE} \rho) e^{-k_{cz} z} \begin{cases} \sin(m\varphi) \\ -\cos(m\varphi) \end{cases}$$


$$H_\varphi = -jA \frac{f}{\zeta f_{cE}} J'_m(k_{cE} \rho) e^{-k_{cz} z} \begin{cases} \cos(m\varphi) \\ \sin(m\varphi) \end{cases}$$

$$H_z = 0$$

$Z_E = \frac{k_{zE}}{\omega \epsilon} = \zeta \sqrt{1 - \left(\frac{f_{cE}}{f}\right)^2}$   
**Impedenza d'onda dei modi TM**

$k_{cE,mn} = \frac{p_{mn}}{a} \quad (m = 0, 1, \dots; n = 1, 2, \dots) \quad p_{mn}: \text{zero } n\text{-esimo di } J_m(x)$

7/21



Teoria e Tecnica delle Onde Elettromagnetiche - Propagazione radiata e propagazione guidata  
Prof. G. Pelosi, Laboratorio di Elettromagnetismo Numerico  
Dipartimento di Elettronica e Telecomunicazioni - Università di Firenze

**Lezione XIII**  
**Guide d'onda circolari**

---

**Modi TM**

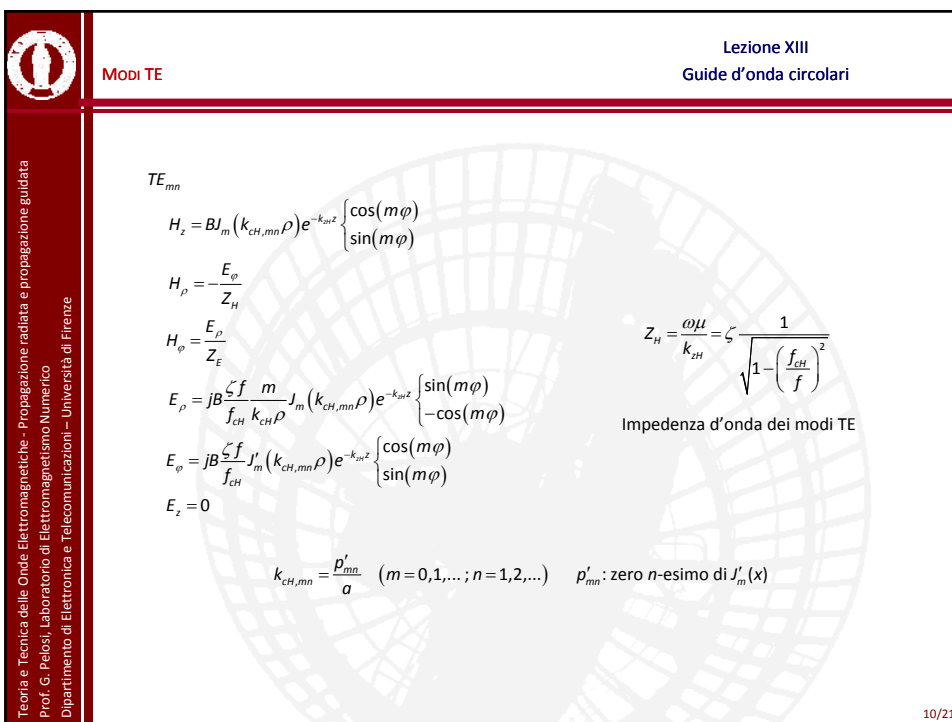
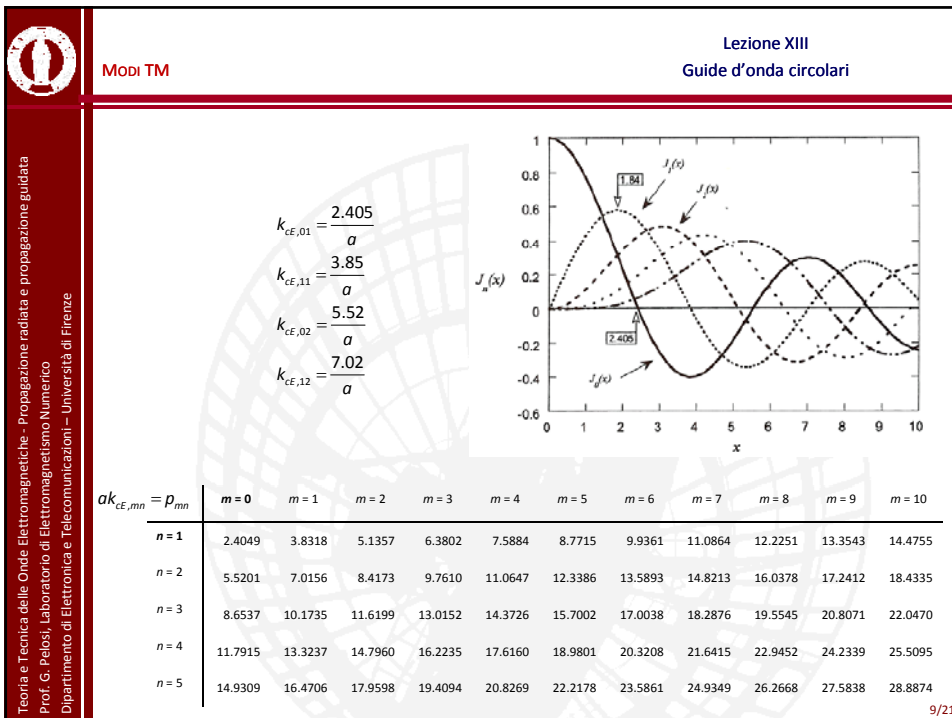
Numero d'onda di cut-off del generico modo TM; l'indice  $m$  si riferisce all'ordine della funzione di Bessel, mentre l'indice  $n$  si riferisce all'ordine dello zero della funzione stessa

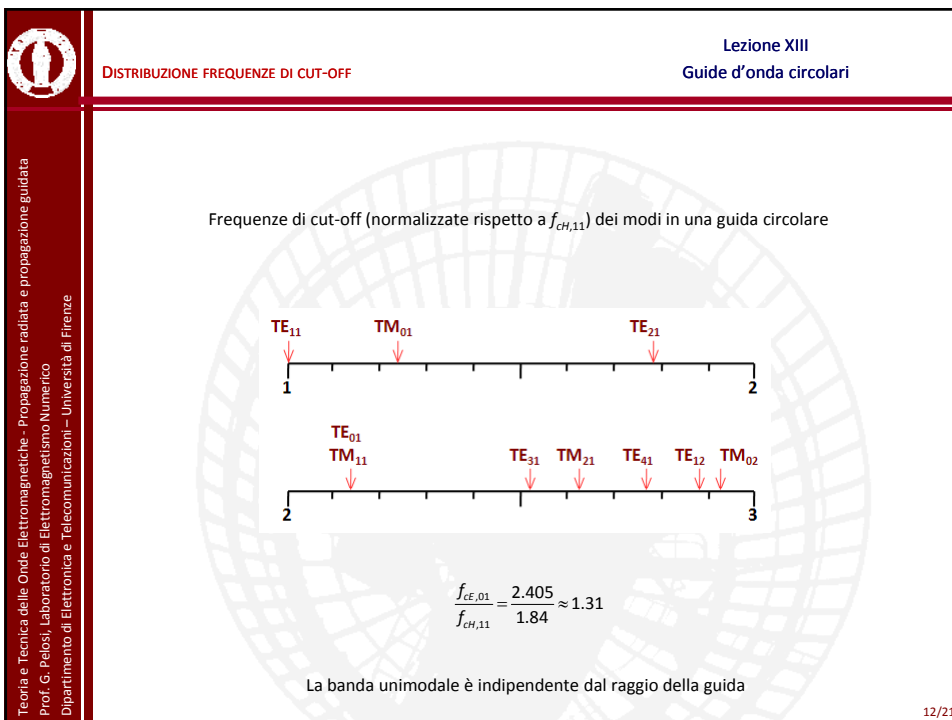
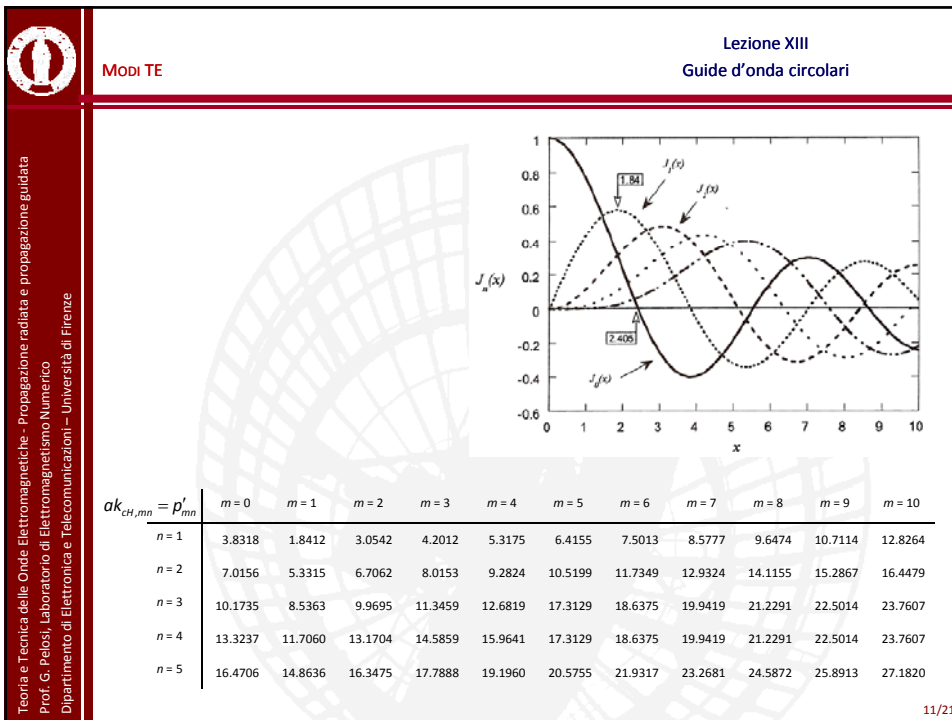
$$\beta_{zE} = \sqrt{\omega^2 \mu \epsilon - k_{cE,mn}^2} \quad \text{Costante di fase del generico modo TM}$$

$$\omega_{cE,mn} = \frac{1}{\sqrt{\mu \epsilon}} k_{cE,mn} \quad \text{Pulsazione di cut-off del generico modo TM}$$

$$v_{zE} = \frac{\omega}{\beta_{zE}} = \frac{\omega}{\sqrt{\omega^2 \mu \epsilon - k_{cE,mn}^2}} \quad \text{Velocità di fase del generico modo TM}$$

8/21







## DISTRIBUZIONE FREQUENZE DI CUT-OFF

Lezione XIII  
Guide d'onda circolari

A parità di frequenza del modo fondamentale, è più grande la banda unimodale di una guida d'onda rettangolare standard ( $b=a/2$ ) o quella di una guida circolare (raggio  $r$ )?

	guida d'onda	
	rettangolare	circolare
modo fondamentale	$TE_{10}$ $(\lambda_{cH})_{10} = 2a$	$TE_{11}$ $(\lambda_{cH})_{11} = \frac{2\pi r}{1.841} \approx 3.412r$
1° modo superiore	$TE_{20}$ $(\lambda_{cH})_{20} = a$	$TM_{01}$ $(\lambda_{cE})_{01} = \frac{2\pi r}{2.4} \approx 2.618r$

A parità di modo fondamentale  $3.41r = 2a \rightarrow r = \frac{2}{3.41}a \approx 0.585a$

$$(\Delta\lambda)_{\text{rett}} = a$$

$$(\Delta\lambda)_{\text{circ}} = (3.41 - 2.61)r = 0.8r \approx 0.46a$$

$$(\Delta\lambda)_{\text{rett}} > (\Delta\lambda)_{\text{circ}}$$

La guida d'onda rettangolare presenta una banda di funzionamento mono modale più ampia di una analoga guida circolare

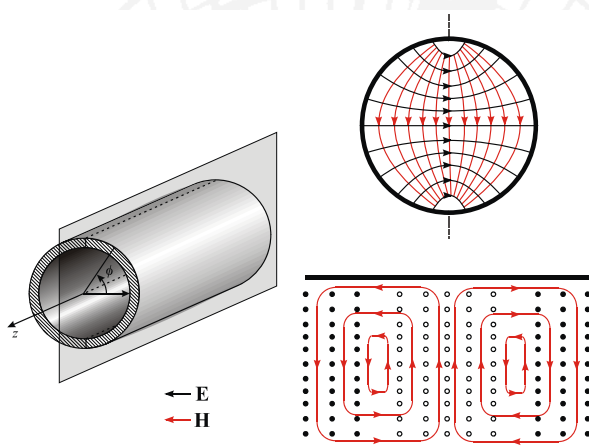
13/21



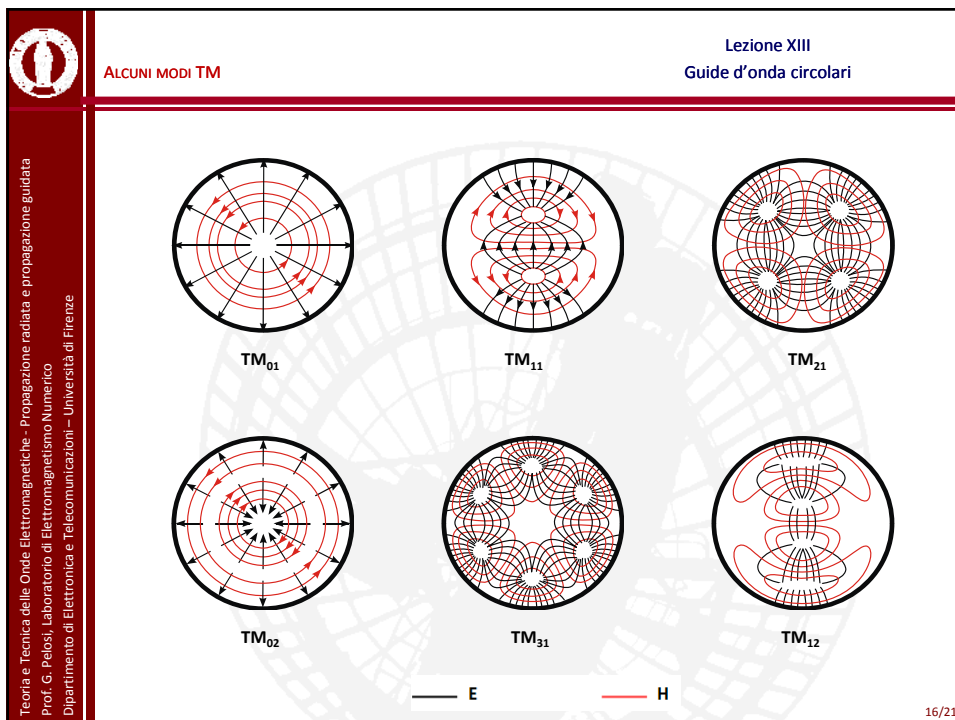
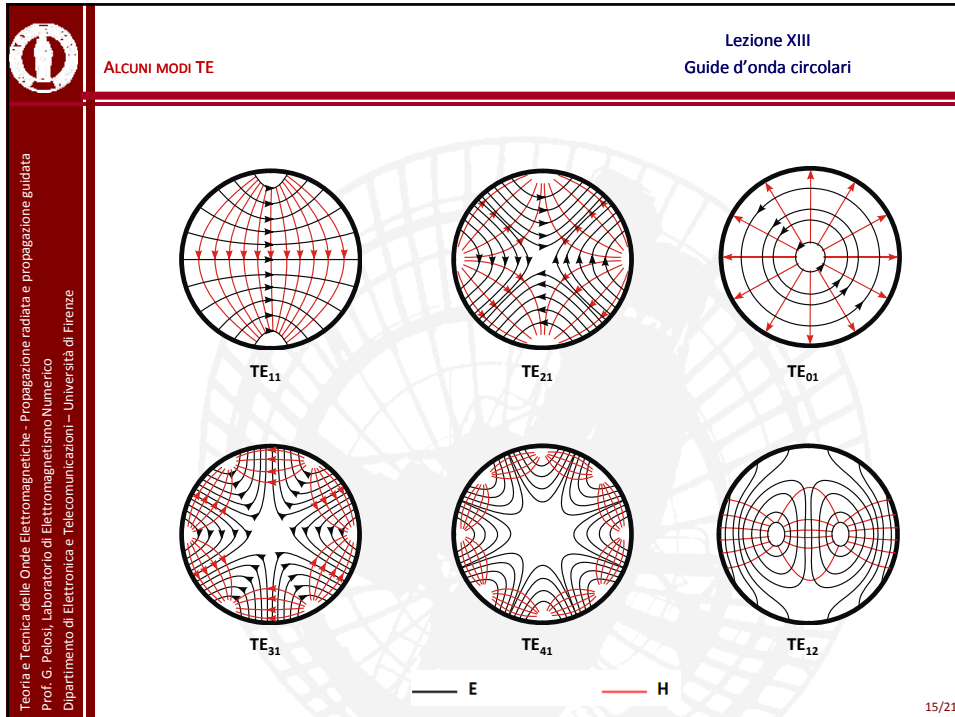
## MODO FONDAMENTALE

Lezione XIII  
Guide d'onda circolari

Il primo modo (modo fondamentale) in guida d'onda circolare è il  $TE_{11}$ , (il modo con il numero d'onda  $k_{c,mn}$  più piccolo):



14/21







ATTENUAZIONE PER CONDUCIBILITÀ FINITA DELLE PARETI

Lezione XIII  
Guide d'onda circolari

$$\text{modi TM: } \alpha_{E, mn} = \frac{R_s}{a \zeta'} \frac{1}{\sqrt{1 - \left(\frac{f_{cE, mn}}{f}\right)^2}}$$

$$\text{modi TE: } \alpha_{H, mn} = \frac{R_s}{a \zeta'} \frac{1}{\sqrt{1 - \left(\frac{f_{cE, mn}}{f}\right)^2}} \left[ \left(\frac{f_{cE, mn}}{f}\right)^2 + \frac{m^2}{p_{mn}'^2 - m^2} \right]$$

La costante di attenuazione risulta monotona decrescente soltanto per i modi  $TE_{0n}$

profondità di penetrazione  $\delta = \frac{1}{\sqrt{\pi f \mu \sigma}}$

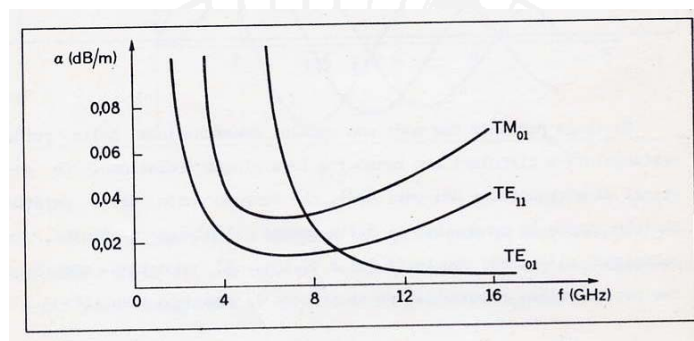
resistenza superficiale delle pareti  $R_s = \frac{1}{\sigma \delta} = \sqrt{\frac{\pi f \mu}{\sigma}}$

17/21



ATTENUAZIONE PER CONDUCIBILITÀ FINITA DELLE PARETI

Lezione XIII  
Guide d'onda circolari



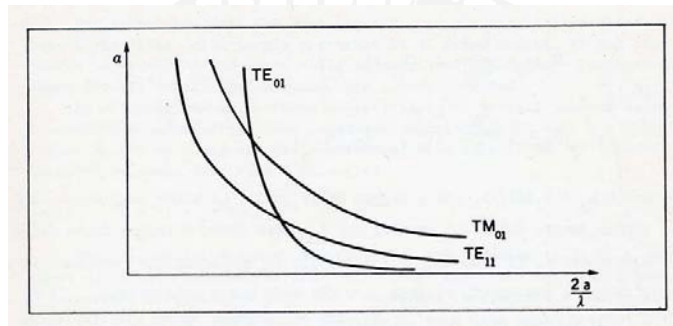
Pareti di rame in una guida circolare con diametro interni di 2''

18/21



# ATTENUAZIONE PER CONDUCIBILITÀ FINITA DELLE PARETI

## Lezione XIII Guide d'onda circolari



Andamento del fattore di attenuazione in funzione delle dimensioni elettriche della guida

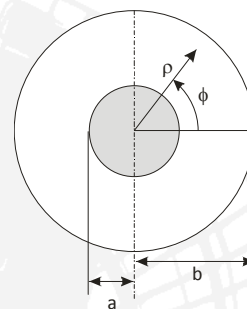
19/21



# CAVO COASSIALE

## Lezione XIII Guide d'onda circolari

Si dimostra che in assenza di perdite si propaga un modo TEM (non vi sono componenti longitudinali né del campo elettrico né del campo magnetico), per cui non c'è frequenza di taglio e la velocità di fase è indipendente dalla frequenza



In un cavo coassiale senza perdite può propagarsi anche un'infinità numerabile di modi TE e TM; poiché ciascuno di essi ha una frequenza di taglio diversa da zero, ne segue che il modo fondamentale è il TEM

20/21



Nel caso limite in cui la i raggi dei due conduttori divengono grandi rispetto alla distanza che li separa si possono determinare le lunghezze d'onda di taglio dei modi TM e TE:

$$\text{modi TM: } \lambda_{ce} = \frac{2}{k}(b-a) \quad (k=1,2,\dots)$$

$$\text{modi TE: } \lambda_{ch} = \frac{1}{k}2\pi \frac{a+b}{2} \quad (k=1,2,\dots)$$

Il primo modo superiore in cavo coassiale risulta essere il TE<sub>10</sub>

$$\lambda_{ch,10} = \pi(a+b)$$

$$f_{ch,10} = \frac{c}{\lambda_{ch,10}} = \frac{1}{\pi\sqrt{\epsilon\mu}} \frac{1}{a+b}$$